

ISSN 0021-3470

ИЗВЕСТИЯ  
ВЫСШИХ УЧЕБНЫХ  
ЗАВЕДЕНИЙ



# РАДИОЭЛЕКТРОНИКА

ВОЕННЫЕ РАДИОЭЛЕКТРОННЫЕ  
ТЕХНОЛОГИИ

том 49

9-10

сентябрь-октябрь

издание  
национального  
технического  
университета  
Украины  
«Киевский  
политехнический  
институт»

2006

ТРИФОНОВ А.П., САВИН С.А.

## ЭФФЕКТИВНОСТЬ ОБНАРУЖЕНИЯ ИЗОБРАЖЕНИЯ С НЕИЗВЕСТНЫМ МЕСТОПОЛОЖЕНИЕМ

Рассмотрены квазиправдоподобный, байесовский и максимальнopravdopodobnyj алгоритмы обнаружения изображения пространственно-протяженного объекта с неизвестным местоположением на фоне пространственного гауссова белого шума. Работоспособность алгоритмов и границы применимости найденных асимптотических выражений для характеристик обнаружения установлены с помощью статистического моделирования на ЭВМ.

В настоящее время активно развиваются методы дистанционного наблюдения, учитывающие пространственную протяженность реальных объектов, что объясняется существенно возросшей разрешающей способностью систем дистанционного наблюдения. Вопросы обработки изображений пространственно протяженных объектов рассматривались в [1, 2] и др. При этом, как правило, предполагалось, что местоположение изображения в области наблюдения априори известно. Лишь в [3] исследовано обнаружение изображения с неизвестным априори местоположением. Однако в этой работе предполагалось, что интенсивность изображения описывается регулярной (дифференцируемой) функцией координат. Такими свойствами обычно обладают изображения пространственно-протяженных объектов, формируемые системами дистанционного наблюдения с низким разрешением. По мере улучшения разрешения изображения пространственно-протяженных объектов обладают все более резкими и четко выделенными границами. Это позволяет аппроксимировать интенсивность изображения пространственно-протяженных объектов функциями, которые изменяются на границах изображения скачком [4, 5]. Обнаружение таких изображений с известным местоположением рассматривалось в ряде работ [4, 5] и др. Однако во многих задачах местоположение изображения может быть известно лишь с точностью до координаты  $x$ . В связи с чем, представляет интерес анализ эффективности алгоритмов обнаружения данного класса изображений.

Пусть в двумерной области  $\Omega$  обработке доступна реализация случайного поля

$$\xi(x, y) = \gamma_0 \tilde{s}(x, y, \lambda_0, \eta_0) + n(x, y), x, y \in \Omega, \quad (1)$$

где  $\tilde{s}(x, y, \lambda, \eta) = aI(x - \lambda, y - \eta)$  изображение с интенсивностью  $a$ , которое занимает область  $\Omega_S(\lambda, \eta)$ , описываемую индикаторной функцией

$$I(x, y) = \begin{cases} 1, & x, y \in \Omega_S(0, 0), \\ 0, & x, y \notin \Omega_S(0, 0). \end{cases}$$

В (1)  $n(x, y)$  — белый гауссовский пространственный шум с односторонней спектральной плотностью  $N_0$ . Параметр  $\gamma_0 = 0,1$  определяет наличие или отсутствие изображения в реализации случайного поля  $\xi(x, y)$  (1). В области наблюдения выберем систему координат так, чтобы

$$\iint_{\Omega} x I(x, y) dx dy = \iint_{\Omega} y I(x, y) dx dy = 0,$$

то есть начало координат расположим в центре тяжести области  $\Omega_S(0, 0)$ , описываемой индикатором  $I(x, y)$ . Тогда  $\lambda, \eta$  — координаты центра тяжести области  $\Omega_S(\lambda, \eta)$ , описываемой индикатором  $I(x - \lambda, y - \eta)$ . Пусть  $\eta_0$  в (1) известно априори, тогда без потери общности можем положить  $\eta_0 = 0$  и переписать (1) как:

$$\xi(x, y) = \gamma_0 s(x, y, \lambda_0) + n(x, y), \quad x, y \in \Omega, \quad (2)$$

$$s(x, y, \lambda) = aI(x - \lambda, y). \quad (3)$$

Полагаем, что абсцисса  $\lambda_0$  центра тяжести области  $\Omega_S(\lambda_0, 0)$ , занимаемой изображением, априори неизвестна и принимает значения из интервала  $[-\lambda_{\max}/2; \lambda_{\max}/2]$ . По результатам наблюдения надо вынести решение о наличии или отсутствии изображения в реализации случайного поля (2), то есть вынести решение о значении параметра  $\gamma_0$ .

Для решения задачи обнаружения изображения (3) необходимо формировать логарифм функционала отношения правдоподобия (ФОП) [4]:

$$L(\lambda) = \frac{2}{N_0} \iint_{\Omega} \xi(x, y) s(x, y, \lambda) dx dy. \quad (4)$$

Если местоположение  $\lambda_0$  изображения априори известно, то оптимальный алгоритм обнаружения имеет вид [6]:

$$\begin{aligned} \lambda_0 &= 1 \\ L(\lambda_0) &\leq h, \\ \lambda_0 &= 0 \end{aligned} \quad (5)$$

где порог  $h$  определяется выбранным критерием оптимальности.

При неизвестном местоположении изображения возможно применение квазиправдоподобного обнаружителя (КПО) [7]. Для синтеза КПО вместо неизвестного значения  $\lambda_0$  в (5) используется ожидаемое (прогнозируемое) значе-

ние местоположения  $\lambda^*$ . В результате КПО принимает решение согласно алгоритму:

$$\begin{array}{c} \lambda_0 = 1 \\ L(\lambda^*) \leq h \\ \lambda_0 = 0 \end{array}$$

Поскольку  $L(\lambda^*)$  — гауссовская случайная величина, для вероятностей ошибок ложной тревоги и пропуска изображения можем записать соответственно

$$\alpha^* = P[L(\lambda^*) > h | \gamma_0 = 0] = 1 - \Phi(h/z), \quad (6)$$

$$\beta^*(\lambda^*, \lambda_0) = P[L(\lambda^*) < h | \gamma_0 = 1] = \Phi(h/z - zS(\lambda^* - \lambda_0)), \quad (7)$$

где  $\Phi(x) = \int_{-\infty}^x \exp(-t^2/2) dt / \sqrt{2\pi}$  — интеграл вероятности,  $z^2 = 2a^2G_S/N_0$  — отношение сигнал-шум (ОСШ),  $G_S$  — площадь области, занимаемой изображением, а

$$S(\lambda) = \iint_{\Omega} s(x, y, 0)s(x, y, \lambda) dx dy / (a^2 G_S) \quad (8)$$

— нормированная сигнальная функция [6].

Воспользуемся критерием Неймана-Пирсона [6, 7]. Определяя из (6) значение порога  $h^* = z \operatorname{arc}\Phi(1 - \alpha^*)$  при заданной вероятности ложной тревоги  $\alpha^*$  и подставляя в (7), получаем:

$$\beta^*(\lambda^*, \lambda_0) = \Phi(\operatorname{arc}\Phi(1 - \alpha^*) - zS(\lambda^* - \lambda_0)), \quad (9)$$

где  $\operatorname{arc}\Phi(x)$  — функция, обратная интегралу вероятности.

При оптимальном обнаружении изображения (5) величина  $\lambda^* = \lambda_0$  и выражения (6), (7), (9) принимают вид:

$$\alpha_0 = 1 - \Phi(h/z), \beta_0 = \Phi(h/z - z), \beta_0 = \Phi[\operatorname{arc}\Phi(1 - \alpha_0) - z]. \quad (10)$$

Согласно (10)  $\beta_0$  убывает с ростом ОСШ  $z$ , а из (9) видно, что роль, аналогичную ОСШ при КПО, играет параметр  $z^* = z\sqrt{S(\lambda^* - \lambda_0)}$ , который можно назвать ОСШ при КПО.

Как следует из (9), (10), проигрыш в эффективности КПО вследствие неизвестия  $\lambda_0$  можно характеризовать отношением:

$$\chi = z^{*2} / z^2 = S(\lambda^* - \lambda_0) \quad (11)$$

которое показывает уменьшение ОСШ вследствие отклонения  $\lambda^*$  от  $\lambda_0$ .

Конкретизируем полученные общие соотношения для изображения в форме эллипса с эксцентриситетом  $\varepsilon$ . Площадь эллипса  $G_S = \pi ab$ , где  $a, b$  — большая и малая оси эллипса соответственно. Большая ось эллипса расположена под углом  $\alpha$  к оси абсцисс. Нормированная сигнальная функция (8), соответствующая изображению в форме эллипса, имеет вид

$$S(\Lambda) = \begin{cases} 1 - \delta(\Lambda) |\Lambda| - \frac{2}{\pi} \left[ \frac{\pi}{2} - \Psi(\Lambda) \right], & |\Lambda| \leq K, \\ 0, & |\Lambda| > K, \end{cases} \quad (12)$$

$$K = \frac{2(1-\varepsilon^2)^{1/4}}{\sqrt{\pi(1-\varepsilon^2 \cos^2 \alpha)}}, \quad \Psi(\Lambda) = A(\Lambda) \sqrt{1-A^2(\Lambda)} + \arcsin(A(\Lambda)),$$

$$A(\Lambda) = \sqrt{1-\Lambda^2} \frac{\pi(1-\varepsilon^2 \cos^2 \alpha)}{4\sqrt{1-\varepsilon^2}},$$

$$\delta(\Lambda) = \sqrt{(2-\varepsilon^2 - \varepsilon^2 \cos 2\alpha)(8\sqrt{1-\varepsilon^2} / \pi - \Lambda^2[2-\varepsilon^2 - \varepsilon^2 \cos 2\alpha]) / 2\sqrt{1-\varepsilon^2}}.$$

Здесь  $\Lambda = \lambda / g$  — нормированный аргумент, где  $g = \sqrt{G_S}$ .

На рис. 1 изображены графики функции  $\chi(\Lambda^*)$  (11), где  $\Lambda^* = (\lambda^* - \lambda_0) / g$  при  $G_S = \text{const}$ . Сплошная линия рассчитана при  $\varepsilon = 0$ , штриховая при  $\varepsilon = 0,7$ , а штрихпунктирная, при  $\varepsilon = 0,95$ . Кривые, расположенные выше сплошной кривой, построены при  $\alpha = 0$ , а ниже сплошной кривой — при  $\alpha = \pi/2$ .

Из анализа кривых рис. 1 следует, что наиболее чувствительным к отклонению прогнозируемого значения координаты  $\lambda^*$  от истинного значения  $\lambda_0$  является сильно вытянутый эллипс ( $\varepsilon = 0,95$ ) большая ось которого перпендикулярна оси  $x$  (нижняя штрихпунктирная кривая). В наименьшей степени снижается эффективность обнаружения вследствие отклонения  $\lambda^*$  от  $\lambda_0$  для сильно вытянутого эллипса, большая ось которого параллельна оси  $x$  (верхняя штрихпунктирная кривая).

Согласно (10), при оптимальном обнаружении форма изображения не влияет на эффективность обнаружения. Характеристики оптимального обнаружителя зависят только от интенсивности и площади изображения. Из (6), (7), (9) и кривых рис. 1 следует, что при КПО эффективность обнаружения существенно зависит от формы изображения.

Если известны априорные вероятности отсутствия и наличия изображения  $p_0 = P(\gamma_0 = 0)$  и  $p_1 = P(\gamma_0 = 1) = 1 - p_0$ , а также априорная плотность вероятности неизвестного местоположения  $W_{\text{aap}}(\lambda)$ , то эффективность обнаружения КПО можно характеризовать безусловной вероятностью общей ошибки [6]:

$$P_e^* = p_0 \alpha^* + p_1 \int_{-\lambda_{\max}/2}^{\lambda_{\max}/2} \beta^*(\lambda) W_{\text{amp}}(\lambda) d\lambda, \quad (13)$$

где  $\alpha^*, \beta^*(\lambda^*, \lambda)$  определяются выражениями (6), (7). Для оптимального обнаружителя безусловная вероятность общей ошибки равна:

$$P_{e \text{ opt}} = p_0 \alpha_0 + p_1 \beta_0, \quad (14)$$

где  $\alpha_0, \beta_0$  определяются выражениями (10).

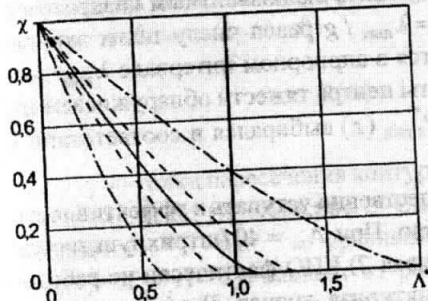


Рис. 1

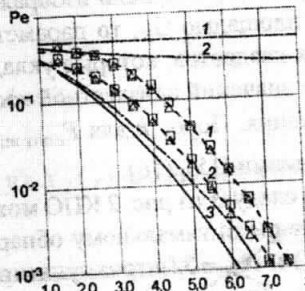


Рис. 2

При использовании в качестве характеристик эффективности обнаружения безусловной вероятности общей ошибки (13), (14) порог  $h$  для каждого значения ОСШ  $z$  определяется из условия минимума безусловной вероятности общей ошибки. Именно:

$$h_{\text{opt}} = \arg \inf P_e^*(z), \quad (15)$$

для КПО и

$$h_{\text{opt}} = \arg \inf P_{e0}(z), \quad (16)$$

для оптимального обнаружителя.

Обозначим минимальные значения безусловной вероятности общей ошибки для оптимального и квазиправдоподобного обнаружителей как

$$P_{e \text{ opt min}}(z) = \min_h P_{e \text{ opt}}(z), P_{e \text{ min}}(z) = \min_h P_e^*(z). \quad (17)$$

На рис. 2 представлены зависимости вероятностей общей ошибки, построенные для изображения в форме круга ( $\epsilon = 0$ ) при  $G_S = \text{const}$ ,  $p_0 = 1/2$  от ОСШ  $z$ . При расчете  $P_e^*(z)$  (13) априорная плотность вероятности неизвестного местоположения  $W_{\text{amp}}(\lambda)$  предполагалась равномерной

$$W_{\text{апр}}(\lambda) = \frac{1}{\lambda_{\max}} \begin{cases} 1, |\lambda| \leq \lambda_{\max}/2, \\ 0, |\lambda| > \lambda_{\max}/2 \end{cases} \quad (18)$$

Сплошной линией нанесена кривая, соответствующая минимальной безусловной вероятности общей ошибки для оптимального обнаружителя  $P_{e \text{ opt min}}(z)$  (17), а штрихпунктирными линиями нанесены кривые, соответствующие минимальной безусловной вероятности общей ошибки  $P_{e \text{ min}}^*(z)$  (17) для КПО при  $\Lambda_m = 40$  (кривая 1),  $\Lambda_m = 3$  (кривая 2) и  $\Lambda_m = 0,2$  (кривая 3) соответственно и  $\lambda^* = 0$ . Если изображение заменить эквивалентным квадратом с той же площадью  $G_S$ , то параметр  $\Lambda_m = \lambda_{\max}/g$  равен числу таких эквивалентных квадратов, которые укладываются в априорном интервале  $\lambda_{\max}$  возможных значений неизвестной координаты центра тяжести обнаруживаемого изображения. Порог  $h$  для  $P_{e \text{ opt min}}(z)$ ,  $P_{e \text{ min}}^*(z)$  выбирался в соответствии с выражениями (15), (16).

Как следует из рис. 2 КПО может существенно уступать в эффективности обнаружения оптимальному обнаружителю. При  $\Lambda_m = 40$  (штрихпунктирная кривая 1) и  $\Lambda_m = 3$  (штрихпунктирная кривая 2) КПО фактически не работоспособен. Лишь при  $\Lambda_m = 0,2$  (штрихпунктирная кривая 3) эффективность КПО сопоставима с эффективностью оптимального обнаружителя.

Для уменьшения потерь в эффективности обнаружения вследствие незнания местоположения изображения целесообразно использовать максимально правдоподобный обнаружитель (МПО) [6, 7]. Для синтеза МПО вместо неизвестного местоположения  $\lambda_0$  будем использовать его оценку максимального правдоподобия  $\hat{\lambda}$  [7]. При максимально правдоподобном обнаружении надо вычислять логарифм ФОП (4) для всех значений  $\lambda$  из априорного интервала  $[-\lambda_{\max}/2; \lambda_{\max}/2]$ . После этого надо найти значение  $\hat{\lambda}$ , при котором логарифм ФОП достигает своего максимального значения, и сравнить наибольшее значение логарифма ФОП с порогом  $h$ , задаваемым критерием оптимальности. Реализация МПО значительно сложнее, чем КПО, так как надо использовать многоканальный приемник, каждый канал которого формирует логарифм ФОП для конкретного  $\lambda \in [-\lambda_{\max}/2; \lambda_{\max}/2]$  [6]. Таким образом, МПО реализует алгоритм:

$$L(\hat{\lambda}) = \sup_{\lambda \in [-\lambda_{\max}/2; \lambda_{\max}/2]} L(\lambda) = \begin{cases} \lambda_0 = 1 & \hat{\lambda} \leq h \\ \lambda_0 = 0 & \hat{\lambda} > h \end{cases}$$

Для расчета характеристик МПО надо установить свойства сигнальной функции (8). Исследуем вначале поведение функции  $S(\lambda)$  (8) при  $|\lambda| \rightarrow 0$ . Сигнальная функция (8) в соответствии с рис. 3 пропорциональна площади пере-

крытия областей  $\Omega_S(\lambda_1, 0)$  и  $\Omega_S(\lambda_2, 0)$ , описываемых индикаторами  $I(x - \lambda_1, y)$  и  $I(x - \lambda_2, y)$  соответственно, т. е. согласно (8)

$$S(\Delta\lambda) = \iint_{\Omega} I(x - \lambda_1, y) I(x - \lambda_2, y) dx dy / G_S, \quad (19)$$

где  $\Delta\lambda = \lambda_2 - \lambda_1$ .

Интеграл, входящий в выражение для сигнальной функции (19), можно представить как разность между площадью  $G_S$  и площадью  $\Delta G_S$  области не перекрытия областей  $\Omega_S(\lambda_1, 0)$  и  $\Omega_S(\lambda_2, 0)$  слева от контура  $X_2(y)$ , ограничивающего область  $\Omega_S(\lambda_2, 0)$

$$S(\Delta) = 1 - \int_{y_0}^{y_1} \int_{X_1(y)}^{X_2(y)} dx dy / G_S,$$

$y_0$  и  $y_1$  — точки пересечения контуров  $X_1(y)$ ,  $X_2(y)$ , ограничивающих области  $\Omega_S(\lambda_1, 0)$ ,  $\Omega_S(\lambda_2, 0)$  на рис. 3. Они находятся из уравнения  $X_1(y) - X_2(y) = 0$  и зависят от расстояния  $|\Delta\lambda|$  между центрами тяжести областей  $\Omega_S(\lambda_1, 0)$ ,  $\Omega_S(\lambda_2, 0)$ . При  $|\Delta\lambda| \rightarrow 0$  величину  $y_0$  можно приближенно считать равной минимальному значению  $y_{\min}$  координаты  $y$  проекции области  $\Omega_S(\lambda_1, 0)$  на ось ординат, а величину  $y_1$  равной максимальному значению  $y_{\max}$  координаты  $y$  проекции области  $\Omega_S(\lambda_1, 0)$  на ось ординат. Так что при  $|\Delta\lambda| \rightarrow 0$  величины  $y_0 \rightarrow y_{\min}$ ,  $y_1 \rightarrow y_{\max}$  и сигнальная функция (19) запишется в виде:

$$S(\Delta\lambda) = 1 - \int_{y_{\min}}^{y_{\max}} \int_{X_1(y)}^{X_2(y) + |\Delta\lambda|} dx dy / G_S = 1 - \frac{I_y}{G_S} |\Delta\lambda| + o(|\Delta\lambda|), I_y = y_{\max} - y_{\min}. \quad (20)$$

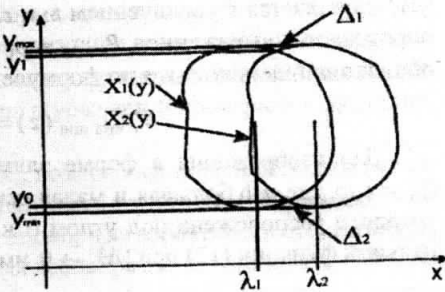


Рис. 3

Из рис. 3 видно, что при выводе данной аппроксимации учитывается дополнительная площадь криволинейных треугольников  $\Delta_1$ ,  $\Delta_2$ , которая имеет порядок величины  $\Delta\lambda^2$  и пренебрежимо мала при  $|\Delta\lambda| \rightarrow 0$ . Если  $|\Delta\lambda| > l_x$  области  $\Omega_S(\lambda_1, 0)$  и  $\Omega_S(\lambda_2, 0)$  не перекрываются и сигнальная функция обращается в ноль. Здесь  $l_x$  — длина проекции области  $\Omega_S(0, 0)$  на ось абсцисс.

Согласно (20) сигнальная функция не имеет второй производной при  $\Delta\lambda = 0$ . Так как сигнальная функция одновременно является корреляционной функцией логарифма ФОП  $L(\lambda)$  (4), его реализации недифференцируемы [6].

Установленные свойства логарифма ФОП позволяют применить метод локально-марковской аппроксимации для расчета характеристик МПО [6].

Используя метод локально-марковской аппроксимации, аналогично [6] получаем асимптотические выражения для вероятностей ложной тревоги и пропуска изображения с неизвестным местоположением при обнаружении по методу максимального правдоподобия:

$$\alpha_m = \begin{cases} 1 - \exp(-\mu \exp(-u^2/2) / \sqrt{2\pi}), & u \geq 1, \\ 1, & u < 1, \end{cases}$$

$$\beta_m = \begin{cases} \exp(-\mu \exp(-u^2/2) / \sqrt{2\pi}) (\Phi(u-z) - 2 \exp(3z^2/2 - uz) \Phi(u-2z) + \exp(uz^2 - 2uz) \Phi(u-3z)), & u \geq 1, \\ 0, & u < 1 \end{cases} \quad (21)$$

Здесь  $m = I_y \lambda_{\max} / G_S$ , а  $u = h/z$  — нормированный порог. Точность формул (21) улучшается с увеличением  $m$  и  $z$ . Вероятность общей ошибки для МПО определяется выражением  $P_{e \min} = p_0 \alpha_m + p_1 \beta_m$ , а минимальная вероятность общей ошибки находится по формуле:

$$P_{e \min \min}(z) = \min_h P_{e \min}(z). \quad (22)$$

Для изображения в форме эллипса с эксцентриситетом  $\varepsilon$ , площадью  $G_S = \pi ab$ , где  $a, b$  большая и малая оси эллипса соответственно, большая ось которого расположена под углом  $\alpha$  к оси абсцисс, аппроксимация (20) сигнальной функции (12) при  $|\Delta\lambda| \rightarrow 0$ , имеет вид:

$$S(\Lambda) = 1 - \frac{I_y}{\sqrt{G_S}} |\Lambda| + o(|\Lambda|), \text{ где } \Lambda = \Delta\lambda / g, I_y = \frac{2\sqrt{G_S(1-\varepsilon^2 \cos^2 \alpha)}}{\sqrt{\pi(1-\varepsilon^2)^{1/4}}}. \quad (23)$$

На рис. 2 изображены зависимости от ОСШ  $z$  минимальных вероятностей общей ошибки  $P_{e \min}(z)$ ,  $P_{e \text{опт} \min}(z)$  (17) и  $P_{e \min \min}(z)$  (22), рассчитанные для круга ( $\varepsilon = 0$ ) постоянной площадью  $G_S = \text{const}$ . Сплошной линией изображена зависимость минимальной вероятности общей ошибки для оптимального обнаружителя  $P_{e \text{опт} \min}(z)$  (17), штриховой линией изображена зависимость минимальной вероятности общей ошибки для МПО  $P_{e \min \min}(z)$  (22), штрих-пунктирной линией изображена зависимость минимальной безусловной вероятности общей ошибки для КПО  $P_{e \min}^*(z)$ . Кривые 1 рассчитаны при  $\Lambda_m = 40$ , а кривые 2 — при  $\Lambda_m = 3$ .

Из сопоставления сплошных и штриховых кривых рис. 2 следует, что не знание местоположения изображения заметно снижает эффективность максимально правдоподобного обнаружения изображения. В тоже время, сопостав-

ление штриховых и штрихпунктирных кривых показывает, что применение МПО обеспечивает существенный выигрыш в эффективности обнаружения по сравнению с КПО. Штриховые кривые 1 и 2 на рис. 2 показывают, что с ростом  $\Lambda_m$  проигрыш в эффективности МПО по сравнению с оптимальным обнаружителем увеличивается. Согласно (21), (23), этот проигрыш растет с увеличением параметра:

$$m = l_y \lambda_{\max} / G_S = 2 \Lambda_m \sqrt{1 - \varepsilon^2 \cos^2 \alpha} / (1 - \varepsilon^2)^{1/4} \sqrt{\pi}, \quad (24)$$

который равен числу элементов разрешения по координате  $x$  для рассматриваемого изображения [6]. Качественно, величина  $m$  (24) определяет число разрешимых изображений эллипса, которые можно разместить в интервале длиной  $\lambda_{\max}$  на оси абсцисс.

Из (24) следует, что при  $\varepsilon \neq 0$  величина  $m$  возрастает с увеличением угла  $\alpha$  между большой осью эллипса и осью абсцисс. При  $\varepsilon = 0$ , когда изображение имеет форму круга, величина  $m$  от  $\alpha$  не зависит. Если  $\alpha > 0$ , то величина  $m$  растет с увеличением эксцентриситета  $\varepsilon$ . Формально, при  $\alpha > 0$  и  $\varepsilon \rightarrow 1$ , величина  $m \rightarrow \infty$  и проигрыш в эффективности обнаружения вследствие априорного незнания местоположения изображения неограниченно возрастает. Однако, при  $\alpha = 0$ , по мере стремления  $\varepsilon \rightarrow 1$ , величина  $m$  убывает, и проигрыш в эффективности обнаружения уменьшается.

Если кроме априорного интервала  $\lambda_m$  возможных значений местоположения изображения известны априорная плотность вероятности  $W_{\text{апр}}(\lambda)$  возможных значений местоположения, а также априорные вероятности отсутствия  $p_0$  и наличия  $p_1 = 1 - p_0$  изображения, то целесообразно использовать байесовский алгоритм обнаружения [6]. При байесовском подходе оптимальным правилом обнаружения изображения является правило, обеспечивающее минимум риска. Для синтеза байесовского обнаружителя (БО) используем матрицу потерь, у которой стоимости правильных решений принимаются нулевыми, а стоимости ошибок первого и второго рода — одинаковыми, что соответствует критерию идеального наблюдателя. Тогда байесовский алгоритм обнаружения изображения (3) заключается в формировании величины [6]

$$I = \int_{-\lambda_{\max}/2}^{\lambda_{\max}/2} \exp[L(\lambda)] W_{\text{апр}}(\lambda) d\lambda \exp[-z^2/2], \quad (25)$$

где  $L(\lambda)$  определяется выражением (4), и сравнением (25) с порогом  $p_0 / p_1$ . Если  $I > p_0 / p_1$ , принимается решение о наличии изображения в наблюдаемой реализации, и решение о его отсутствии в противном случае.

Возможность аппаратурной реализации БО существенно зависит от вида априорной плотности вероятности  $W_{\text{апр}}(\lambda)$ . Как и МПО, БО является много-

нальным. Кроме того, техническая реализация БО несколько сложнее, чем реализация МПО. Действительно, для реализации БО, согласно (25) необходимо производить интегрирование функции  $L(\lambda)$  (4) после нелинейного преобразования. Теоретический анализ БО осуществить не удается. В связи с этим исследование эффективности байесовского алгоритма обнаружения было выполнено методами статистического моделирования на ЭВМ для априорной плотности вероятности (18) и  $p_0 = p_1 = 1/2$ . Кроме того, найденные характеристики МПО являются лишь асимптотически точными, поэтому необходимо определить границы применимости полученных формул.

В процессе моделирования для реализации (2) наблюдаемых данных формировались отсчеты логарифма ФОП (4)  $L(\lambda) = L(\Lambda g) = \tilde{L}(\Lambda)$  на интервале  $[-\Lambda_m / 2; \Lambda_m / 2]$  с шагом дискретизации  $\Delta\Lambda = 0,01$ . На основе сформированных дискретных отсчетов реализации случайного процесса  $\tilde{L}(\Lambda)$  аппроксимировались ступенчатыми функциями. Для выбранного значения шага дискретизации относительная среднеквадратичная погрешность аппроксимации не превышала 0,1. Сформированные отсчеты логарифма ФОП использовались для принятия решения о наличии или отсутствии изображения в соответствии с максимально правдоподобным или байесовским алгоритмами. Оценка вероятности общей ошибки определялась как относительная частота неправильных решений.

При моделировании максимально правдоподобного и байесовского алгоритмов для каждого значения ОСШ  $z$  проводилось  $5 \cdot 10^4$  циклов испытаний. Следовательно, с вероятностью 0,9 границы доверительных интервалов отклоняются от экспериментальных значений безусловной вероятности общей ошибки не более чем на 7% при  $P_e > 10^{-2}$  и не более чем на 25% при  $P_e > 10^{-3}$ .

Полученные в результате моделирования экспериментальные значения безусловной вероятности общей ошибки нанесены на рис. 2. На рис. 2 штриховыми линиями показаны теоретические зависимости минимальной безусловной вероятности общей ошибки  $P_{e \min \min}$ , рассчитанные для круга с постоянной площадью  $G_S$  по формуле (22). Экспериментальные значения минимальной безусловной вероятности общей ошибки БО изображены треугольниками, а МПО с оптимизированным порогом — квадратиками. Штриховая кривая 1 рассчитана при  $\Lambda_{\max} = 40$ , штриховая кривая 2 — при  $\Lambda_{\max} = 3$ . Как следует из рис. 2 асимптотические теоретические формулы (21) для характеристик МПО удовлетворительно аппроксимируют экспериментальные зависимости при  $z \geq 1..2$  и  $\Lambda_{\max} \geq 3$ .

Приведенные на рис. 2 экспериментальные значения свидетельствуют о практически полном совпадении характеристик обнаружения БО и МПО с оптимизированным порогом. Это позволяет рекомендовать формулу (22) для

расчета минимальной безусловной вероятности общей ошибки при использовании БО:  $P_{e\min} \approx P_e \min \min$ . Таким образом, при использовании одинакового объема априорной информации и равномерном распределении неизвестного местоположения изображения характеристики МПО и БО практически совпадают. Следовательно, вместо относительно сложного БО можно использовать МПО с оптимизированным порогом, более просто реализуемый аппаратурно.

#### БИБЛИОГРАФИЧЕСКИЙ СПИСОК

1. Островитянов Р. В., Басалов В. Ф. Статистическая теория радиолокации протяженных объектов. — М. : Радио и связь, 1982. — 232 с.
2. Красильников Н. Н. Теория передачи и восприятия изображений. — М. : Радио и связь, 1986. — 248 с.
3. Трифонов А. П., Зюльков А. В. Характеристики обнаружения и оценки положения источника сигнала, модулирующего пуссоновское случайное поле // Радиоэлектроника. — 1981. — №12, — С. 32—38. (Изв. вузов).
4. Трифонов А. П., Прибытов Ю. И. Обнаружение квазидетерминированного изображения при наличии фона с неизвестными параметрами // Автометрия. — 2002. — т. 38, №4, — С. 19—31.
5. Бычков А. А., Понькин В. А. Обнаружение изображений пространственно-протяженных затеняющих фон объектов // Автометрия. — 1992. — №4, — С. 33—40.
6. П. С. Акимов, П. А. Бакут, В. А. Богданович и др. Теория обнаружения сигналов // Под ред. П.А.Бакута. — М. : Радио и связь, 1984. — 440 с.
7. Трифонов А. П., Нечаев Е. П., Парфенов В. И., Обнаружение стохастических сигналов с неизвестными параметрами. М. : Воронеж, ВГУ, — 1991. — 246 с.

Воронежский гос. ун-т

Поступила в редакцию 28.03.06

УДК 004.94

ДЕХТИЯРУК Н. Т., ВИДАЛКО Е. Н.

#### ИМИТАЦИОННОЕ МОДЕЛИРОВАНИЕ В РАДИОТЕХНИЧЕСКИХ СИСТЕМАХ

Рассмотрена система имитационного моделирования GPSS World (General Purpose Simulation System World) — всемирная система имитационного моделирования общего назначения. Радиотехническая система рассматривается в этом случае, как система массового обслуживания (СМО). Проведен расчет основных параметров функционирования многоканальной разомкнутой СМО аналитическим методом и с помощью системы имитационного моделирования GPSS World, выполнен сравнительный анализ результатов расчетов этих параметров, проведенных аналитическим и имитационным методами.

В процессе работы разных радиотехнических систем постоянно возникает необходимость решения вероятностных задач, связанных с работой этих систем и потребность рассматривать радиотехнические системы, как системы